

УДК

# ВЛИЯНИЕ ВИДА МЕХАНИЧЕСКОЙ ХАРАКТЕРИСТИКИ ЭЛЕКТРОДВИГАТЕЛЯ (СТАТИЧЕСКОЙ И ДИНАМИЧЕСКОЙ) НА ФОРМИРОВАНИЕ НАГРУЖЕННОСТИ ВЫНЕСЕННОЙ СИСТЕМЫ ПОДАЧИ

Мезникова Е.А., магистрант

Семенченко А.К., докт. техн. наук, проф.,

Донецкий национальный технический университет

Эффективность процесса моделирования горных машин как динамических систем в значительной мере определяется затратами компьютерного времени на реализацию математических моделей (ММ). Именно сокращение затрат времени позволяет увеличить количество вариантов, а следовательно, и обеспечивает возможность более глубокого анализа исследуемых процессов.

Анализ ММ перемещения комбайна с вынесенной системой подачи [1] показывает, что в значительной мере продолжительность её реализации зависит от характера задания моделей двигателя.

Целью данной работы является установить влияние вида характеристики двигателя (статической и динамической) на формирование нагруженности вынесенной системы подачи, а также выявить область их использования.

На рисунке 1 представлена статическая механическая характеристика  $M=M(n)$  электродвигателя выемочной машины.

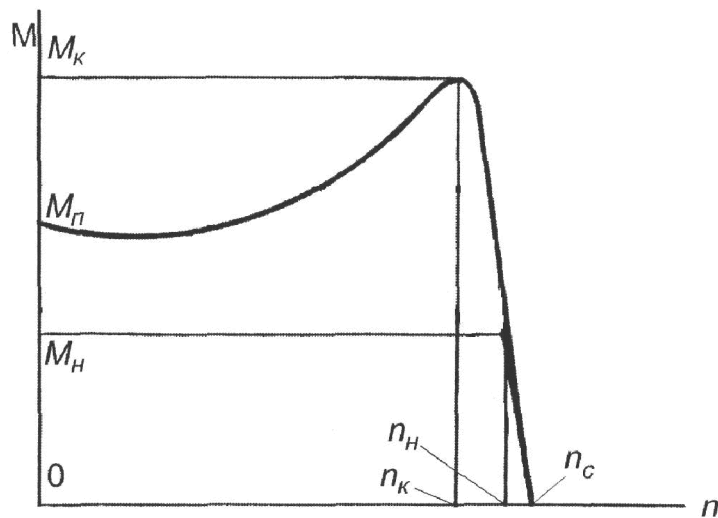


Рисунок 1 – Статическая характеристика электродвигателя

Приняты следующие условные обозначения:

$M_K$  – критический момент электродвигателя;

$M_n$  – пусковой момент электродвигателя;

$M_n$  – номинальный момент электродвигателя;

$n_k$  – критическая частота вращения;

$n_n$  – номинальная частота вращения;

$n_c$  – синхронная частота вращения.

Статическая и динамическая модели двигателя (ЭКВ4-45-6) были реализованы на примере двигателя вынесенной системы подачи комбайна УКД 200-250.

Статическая механическая характеристика была построена по следующим параметрам:

Синхронная частота вращения  $n_c = 1000$  об/мин;

Пусковой момент  $M_n = 672$  Нм;

Максимальный момент  $M_{\max} = 807$  Нм;

Номинальный момент  $M_n = 448$  Нм.

На рисунке 2 изображена статическая механическая характеристика ЭД, реализованная с помощью программного пакета Mathcad 14.

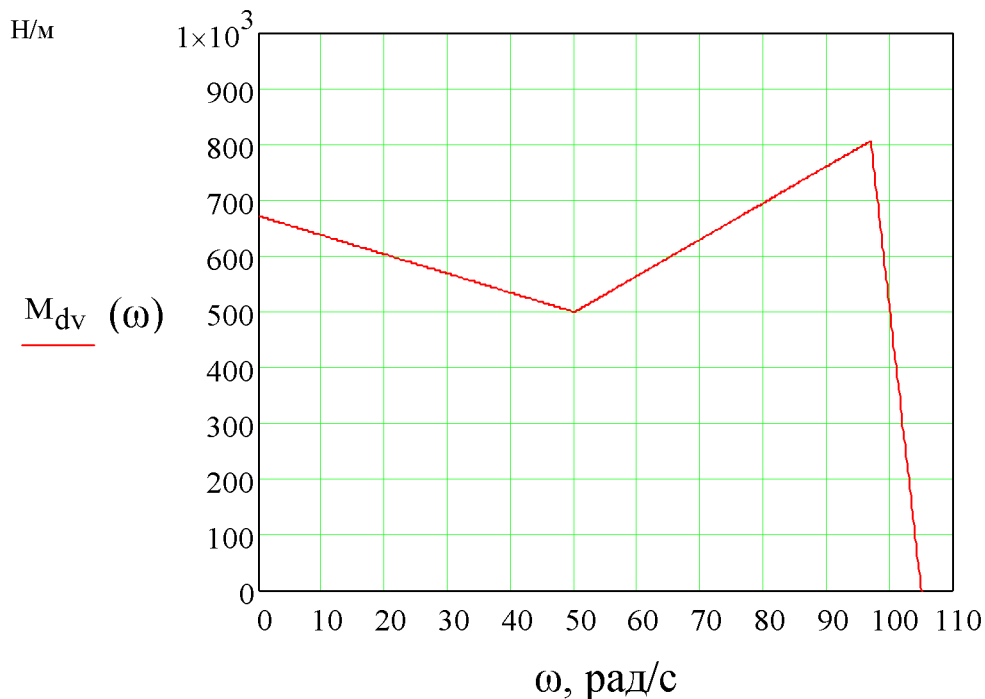


Рисунок 2 – Статическая характеристика электродвигателя

Математическая модель момента электродвигателя привода комбайна в интегрированном виде запишется как векторная функция:

$$\bar{f}_{\partial \theta}(\bar{X}, \bar{P}, \bar{Y}) = 0$$

где  $\bar{X}$  – вектор входных параметров, компонентами которого является момент сопротивления и  $\omega_{de}$ ;

$\bar{P}$  – вектор параметров, компонентами которого являются:  $n_c$ ,  $M_n$ ,  $M_{max}$ ,  $M_h$ .

$\bar{Y}$  – вектор выходных параметров, компонентом которого является  $M_{de}$ .

Динамическая модель двигателя может быть реализована на основе исследований Парка-Горева. Им предложена двухконтурная схема замещения глубокопазного ротора, позволяющая при параметрах, не зависящих от скольжения, учесть влияние вытеснения тока в роторе (рис. 3).

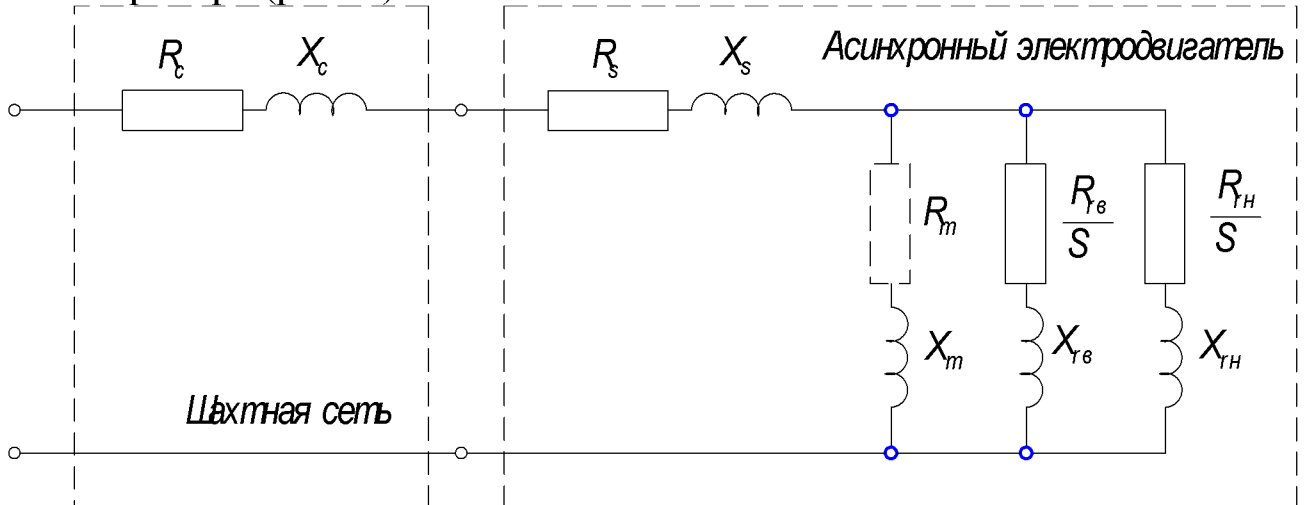


Рисунок 3 – Схема замещения фазы асинхронного электродвигателя с двухконтурным ротором, включённого в шахтную сеть

Параметры схемы замещения были вычислены по каталожным данным электродвигателя.

Основные уравнения ММ [2]:

$$\begin{cases} J\dot{\omega}_p = M_\partial - M_{ped}; \quad \dot{\phi}_p = \omega_p; \\ \dot{\psi}_{S\alpha} = \omega_c b_S [(a_S - 1)\psi_{S\alpha} + a_{r6}\psi_{e\alpha} + a_{rh}\psi_{h\alpha}] + U_m \cos(\omega_c t) - \Delta U_{S\alpha}; \\ \dot{\psi}_{e\alpha} = \omega_c b_{r6} [a_S \psi_{S\alpha} + (a_{r6} - 1)\psi_{e\alpha} + a_{rh}\psi_{h\alpha}] - \omega_p \psi_{e\beta} p; \\ \dot{\psi}_{h\alpha} = \omega_c b_{rh} [a_S \psi_{S\alpha} + a_{r6}\psi_{e\alpha} + (a_{rh} - 1)\psi_{h\alpha}] - \omega_p \psi_{h\beta} p; \\ \dot{\psi}_{S\beta} = \omega_c b_S [(a_S - 1)\psi_{S\beta} + a_{r6}\psi_{e\beta} + a_{rh}\psi_{h\beta}] + U_m \sin(\omega_c t) - \Delta U_{S\beta}; \\ \dot{\psi}_{e\beta} = \omega_c b_{r6} [a_S \psi_{S\beta} + (a_{r6} - 1)\psi_{e\beta} + a_{rh}\psi_{h\beta}] + \omega_p \psi_{e\alpha} p; \\ \dot{\psi}_{h\beta} = \omega_c b_{rh} [a_S \psi_{S\beta} + a_{r6}\psi_{e\beta} + (a_{rh} - 1)\psi_{h\beta}] + \omega_p \psi_{h\alpha} p; \\ M_\partial = \frac{3\omega_c p}{2X_S} [\psi_{S\beta} A - \psi_{S\alpha} B] \end{cases}, \quad (1)$$

где  $\varphi_p, \omega_p$  – угол поворота и угловая скорость вращения ротора;

$J$  – момент инерции ротора двигателя;

$M_d$  – электромагнитный момент, развивающийся двигателем;

$M_c$  – момент нагрузки на валу двигателя;

$\Psi_{S\alpha}, \Psi_{S\beta}, \Psi_{Na}, \Psi_{Nb}, \Psi_{Va}, \Psi_{Vb}$  – составляющие векторов потокосцеплений;

$\omega_c$  – угловая скорость магнитного поля;

$t$  – текущее время;

$\Delta U_{Sa}, \Delta U_{S\beta}$  – проекции вектора падения напряжения статора на оси  $\alpha$  и  $\beta$ , учитывающие влияние питающей сети;

$$\Delta U_{S\alpha} = R_c i_{S\alpha} - X_c i_{S\beta}; \quad \Delta U_{S\beta} = R_c i_{S\beta} - X_c i_{S\alpha};$$

$R_c, X_c$  – соответственно активное и индуктивное сопротивление питающей сети;

$i_{S\alpha}, i_{S\beta}$  – токи статора в проекции на оси  $\alpha$  и  $\beta$ ;

$$U_m \text{ – амплитуда напряжения в фазе; } U_m = \sqrt{\frac{2}{3}} U_n$$

$U_n$  – номинальное напряжение сети (линейное);

$p$  – число пар полюсов электродвигателя;

$P_d$  – активная мощность, потребляемая электродвигателем;

$$P_d = \frac{3}{2} \left[ (U_m \cos(\omega_c t) - \Delta U_{S\alpha}) i_{S\alpha} + (U_m \sin(\omega_c t) - \Delta U_{S\beta}) i_{S\beta} \right]$$

$$A = a_S \psi_{S\alpha} + a_{r6} \psi_{e\alpha} + a_{rh} \psi_{n\alpha}; \quad B = a_S \psi_{S\beta} + a_{r6} \psi_{e\beta} + a_{rh} \psi_{n\beta},$$

Расчётные коэффициенты:

$$\begin{cases} b_s = R_s X_s^{-1}; \quad b_{r6} = R_{r6} X_{r6}^{-1}; \quad b_{rh} = R_{rh} X_{rh}^{-1}; \\ X_{sr} = (X_m^{-1} + X_s^{-1} + X_{r6}^{-1} + X_{rh}^{-1})^{-1} \\ a_s = X_{sr} X_s^{-1}; \quad a_{r6} = X_{sr} X_{r6}^{-1}; \quad a_{rh} = X_{sr} X_{rh}^{-1}; \end{cases}, \quad (2)$$

где  $b_s, b_{r6}, b_{rh}$  – коэффициенты относительного активного сопротивления;

$a_s, a_{r6}, a_{rh}$  – коэффициенты относительного реактивного сопротивления.

$R_s, X_s$  – активное и индуктивное сопротивления фазы обмотки статора;

$R_{r6}, R_{rh}$  – активные сопротивления фаз верхней и нижней клеток ротора соответственно;

$X_{r6}, X_{rh}$  – индуктивные сопротивления рассеяния верхней и нижней клеток ротора соответственно;

$R_m, X_m$  – активное и индуктивное сопротивления взаимоиндукции;

$R_c, X_c$  – активное и индуктивное сопротивления питающей сети.

Математическая модель динамической характеристики электродвигателя привода комбайна в интегрированном виде запишется как векторная функция:

$$\bar{f}_{\partial\theta}(\bar{X}, \bar{P}, \bar{Y}) = 0$$

где  $\bar{X}$  – вектор входных параметров, компонентами которого являются момент сопротивления,  $\omega_s$ ,  $U_m$ ,  $M_C$ ;

$\bar{P}$  – вектор параметров, компонентами которого являются:  $J_s$ ,  $R_C$ ,  $X_C$ ,  $p$ ,  $b_s, b_{r6}, b_{rh}$ ,  $a_s, a_{r6}, a_{rh}$ ,  $R_s, X_s$ ,  $R_{r6}, R_{rh}$ ,  $X_{r6}, X_{rh}$ ,  $R_m, X_m$ ,  $R_c, X_c$ ;

$\bar{Y}$  – вектор выходных параметров, компонентами которого являются  $M_{\partial\theta 1}, \omega_{p1}, M_{\partial\theta 2}, \omega_{p2}, \Psi S_\alpha, \Psi S_\beta, \Psi n_\alpha, \Psi n_\beta, \Psi v_\alpha, \Psi v_\beta, iS_\alpha, iS_\beta$ .

На рисунке 4 изображена динамическая характеристика ЭД, реализованная с помощью программного пакета Mathcad 14.

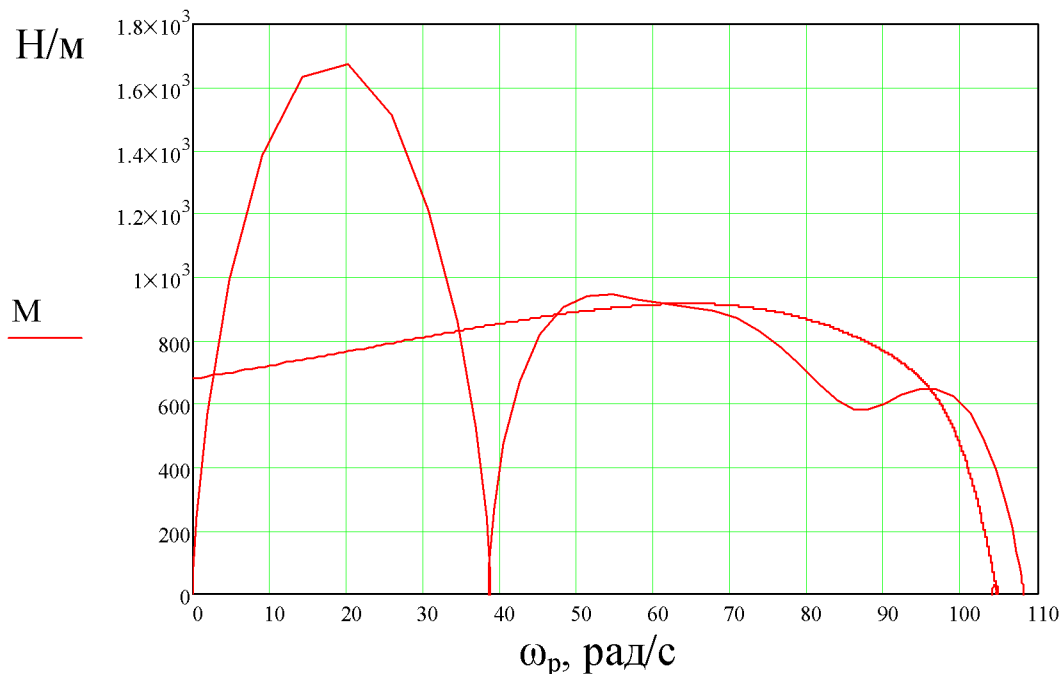
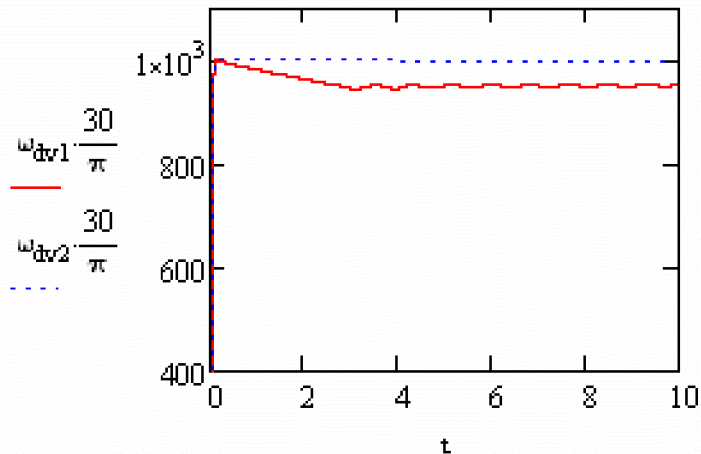
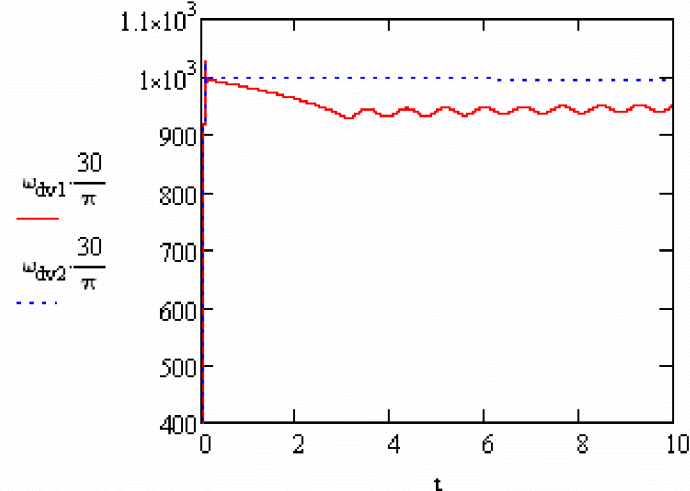


Рисунок 4 – Характеристика электродвигателя на основе модели Парка-Горева

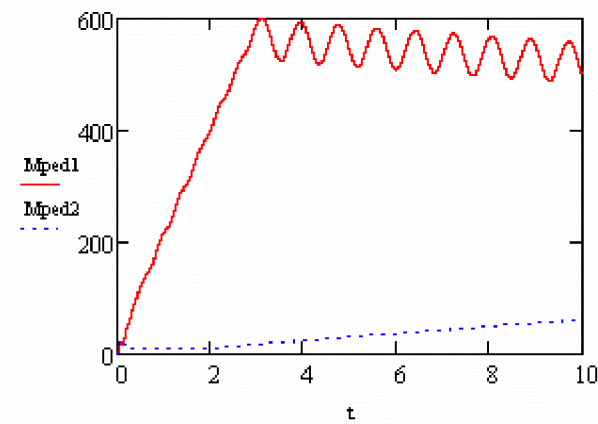
а)



в)



б)



г)

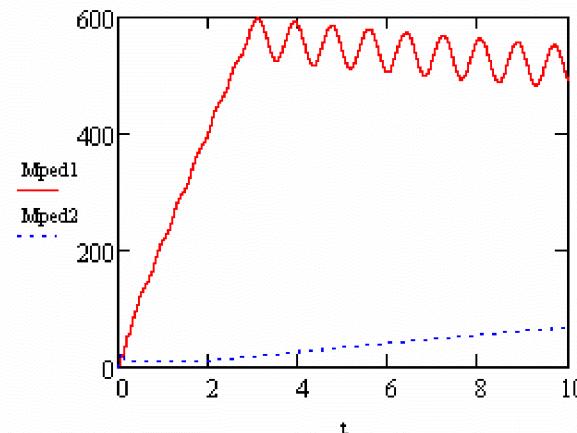


Рисунок 5 – Изменение частоты вращения двигателей и моментов трансмиссии во времени

а, б – статическая характеристика двигателя в, г – динамическая характеристика двигателя

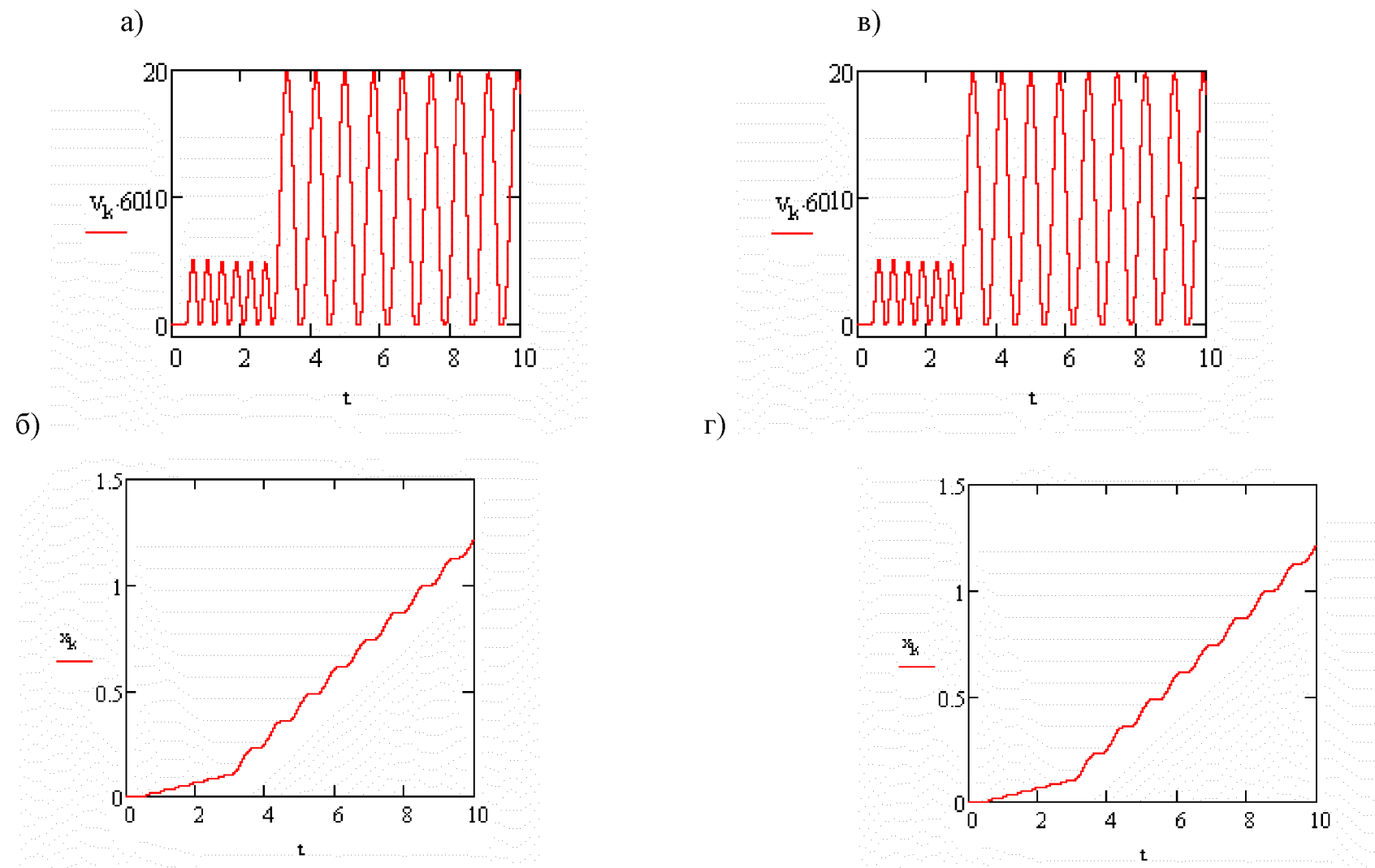
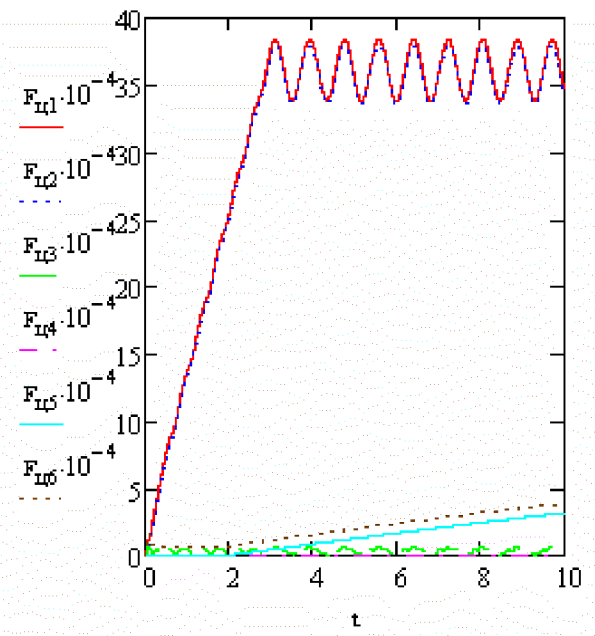


Рисунок 6 – Процесс изменения скорости и перемещение комбайна во времени  
 а, б – статическая характеристика двигателя  
 в, г – динамическая характеристика двигателя

а)



б)

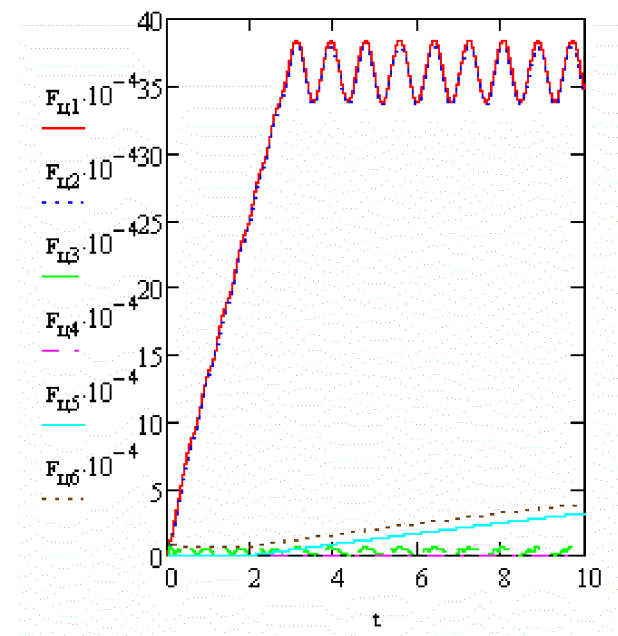


Рисунок 7 – Усилия в цепях на рабочей и холостой ветвях

а – статическая характеристика двигателя

б – динамическая характеристика двигателя

Рисунок отображает процесс запуска двигателя, а также его опрокид, что отображает реальную картину работы ЭД.

На рисунках 5 – 7 показаны процессы изменения частоты вращения двигателей и моментов трансмиссии во времени (рис. 5), скорости и перемещение комбайна (рис. 6), усилий в цепях на рабочей и холостой ветвях (рис. 7). Результаты были получены на основе реализации математической модели перемещения очистного комбайна с вынесенной системой подачи [2].

Анализ изменения частоты вращения показывает, что процессы, происходящие в двигателях, имеют незначительные отклонения, также нагруженность редукторов не зависит от принятой модели. Процессы изменения скорости, перемещения комбайна, усилий в цепях происходят идентично в случаях задания статической и динамической моделей двигателя.

Таким образом, для исследования и описания механических процессов, а также сокращения компьютерного времени их моделирования можно использовать модель электродвигателя на основе его статической характеристики. Динамическую характеристику электродвигателя необходимо применять для описания и исследования процессов, происходящих в двигателе, а также для управления скоростью подачи очистного комбайна, то есть при введении в систему интеллектуального управления.

#### Список источников.

1. Миничев В.И. Угледобывающие комбайны. Конструирование и расчёт. М., «Машиностроение», 1976, 248 с.
2. Семенченко А.К., Мезникова Е.А. Математическая модель перемещения комбайна с вынесенной системой подачи, оснащённой частотно-регулируемым приводом – Механика жидкости и газа/ Материалы VIII Международной научно-технической студенческой конференции. – Донецк: ДонНТУ, 2009